

Expression of GSK-3 β and β - Catenin Proteins in the PMSG Stimulated Rat Ovary

Mirakhori F., M.Sc., Zeynali B., Ph.D.* , Parvaneh Tafreshi A., Ph.D.

* P.O.BOX: 14155-6455, Developmental Biology Department, School of Biology, University College of Science, Tehran University, Tehran, Iran

Abstract

Purpose: The ovary is an example of a developing tissue in which developmental processes occur throughout reproductive life. We investigate the expression of GSK-3 β and β -catenin- Wnt pathway molecules- in the rat ovary during follicular development.

Materials and Methods: To induce follicular growth and development, 23 days old immature female rats were injected with 10 IU of PMSG. Forty and forty-eight hours after stimulation with PMSG, the sera was collected for hormone assay, and the ovary were dissected and prepared for immunohistochemistry(IHC)and western blot(WB).

Results : Our IHC and WB analysis showed that the expression of pGSK-3 β and active β -catenin was increased in PMSG primed rats in compared to those of intact groups. However, the total GSK-3 β and β -catenin proteins remain unchanged.

Conclusion: The results indicate this idea that gonadotropin (PMSG), stabilized β -catenin in GSK-3 β independent manner in the rat ovary during the follicular development.

Key words: GSK-3 β , β -catenin, Ovarian follicular development, Rat

بررسی بیان پروتئین‌های GSK-3β و بتاکتین در تخدمان موش‌های صحرابی نابالغ تحریک شده با PMSG

فهیمه میرآخوری*، م.س. د. بهمن زینلی*، آزیتا پروانه تفرشی**

* دانشکده زیست‌شناسی پردیس علوم دانشگاه تهران

** گروه بیوشیمی پژوهشگاه ملی مهندسی ژنتیک و زیست فناوری

تاریخ وصول: تیرماه ۸۸، تاریخ پذیرش: شهریور ماه ۸۸

چکیده

هدف: تخدمان از جمله بافت‌های بالغی است که روند تکوین در آن در تمام طول دوره تولید مثلی به وقوع می‌پیوندد. در این بررسی، بیان پروتئین‌های GSK-3β و بتاکتین، از مولکول‌های مسیر سیگنال‌دهی Wnt، در تخدمان موش‌های صحرابی در طول تکوین فولیکولی مورد ارزیابی قرار گرفت.

مواد و روش‌ها: برای تحریک تکوین فولیکولی ۱۰ IU PMSG، به موش‌های ماده ۲۳ روزه (نابالغ)، به صورت درون صفاقی تزریق شد و بعد از ۴۰ و ۴۸ ساعت، سرم خون به منظور سنجش هورمونی جمع‌آوری شد و تخدمان‌ها تشريح و آماده بررسی‌های ایمنوھیستوشیمی (IHC) و وسترن بلات (WB) شدند.

یافته‌ها: نتایج IHC، WB نشان داد که الگوی بیان GSK-3β فسفوریله و بتاکتین فعال در موش‌هایی که PMSG دریافت کرده‌اند، نسبت به گروه دست نخورده افزایش می‌یابد. در حالی که میزان کل پروتئین‌های TGSK-3β و بتاکتین تقریباً بدون تغییر باقی می‌مانند.

نتیجه‌گیری: از نتایج به دست آمده می‌توان استنباط کرد که گنادوتropین (PMSG) در طول تکوین فولیکولی در تخدمان موش‌های صحرابی موجب پایداری بتاکتین شده که این امر مستقل از تغییرات GSK-3β است.

کلیدواژه‌ها: GSK-3β، بتاکتین، تکوین فولیکول‌های تخدمان، موش صحرابی

مقدمه

سلولی- تکوینی دیگر نقش ایفا می‌کند. اتصال لیگاند Wnt به گیرنده Frizzled، موجب فعال سازی حداقل دو مسیر سیگنال‌دهی جداگانه به نام‌های مسیر وابسته به بتاکتین یا مسیر اصلی Wnt (canonical) و مسیر مستقل از بتاکتین (non-canonical) می‌شود. در مسیر اصلی، مهار آنزیم گلیکوزن سنتاز کیناز ۳ (GSK-3β; glycogen synthase kinase-3) منجر به پایداری بتاکتین سیتوپلاسمی و انتقال آن به هسته سلول می‌شود.

ژن‌های Wnt (برگرفته از ژن Wingless در دروزوفیلا Integrated در مهره‌داران) کدکننده خانواده گلیکوپروتئین‌های ترشحی هستند که با اتصال به رسپتور سطح غشایی خود موجب راه اندازی آبشار داخل سلولی، بهنام مسیر سیگنال‌دهی (Wnt signaling pathway) می‌شود [۱]. این مسیر در تنظیم بسیاری از مکانیسم‌های تکوینی از جمله تمايز، مهاجرت سلولی، تنظیم تکثیر سلولی و بسیاری از مکانیسم‌های

آدرس مکاتبه: تهران، دانشگاه تهران، پردیس علوم، دانشکده زیست‌شناسی، گروه تکوین، صندوق پستی: ۶۴۵۵-۱۴۱۵۵ Email: bzeynali@Khayam.ut.ac.ir

الگوسازی بافتی در حشرات و مهره داران دخالت دارد. اما هنوز اطلاعاتی در مورد تغییرات بیان مولکول‌های پایین دست مسیر Wnt در تخدان و طی تکوین فولیکولی وجود ندارد. بنابراین در پژوهش حاضر بیان پروتئین‌های GSK-3 β و بتاکتین که از اعضای مهم مسیر Wnt هستند، بررسی شد. با استفاده از گنادوتروپین (pregnant mare's serum gonadotropin) تکوین فولیکولی را در تخدان موش‌های صحرایی نبالغ تحريك و بیان پروتئینی GSK-3 β و بتاکتین بررسی شد.

مواد و روشهای آماده سازی نمونه

در این مطالعه رت‌های ماده ۲۳ روزه نبالغ نژاد Wistar (از انسستیتو پاستور ایران) استفاده و حیوانات در شرایط استاندارد نور (۱۲ ساعت تاریکی، ۱۲ ساعت روشنایی)، درجه حرارت ۲۵ درجه سانتی گراد نگهداری شدند. تعداد حیوانات در هر گروه آزمایشی پنج عدد بوده و هر آزمایش با حداقل سه بار تکرار انجام پذیرفت. گروه‌های مورد بررسی شامل گروه دست نخورده (بدون تزریق PMSG، به عنوان گروه کنترل) و گروه تجربی (با تزریق PMSG) بود. برای تحريك تکوین فولیکولی، موش‌های مورد آزمایش ۱۰ IU PMSG به صورت درون صفاقی دریافت کردند. ۴۸ ساعت بعد از تزریق PMSG، تخدان‌ها خارج و یکی از آنها برای انجام بررسی‌های ایمنوھیستوشیمی با پارافرمالدهید ۴ درصد ثبیت شد و تخدان دیگر برای وسترن بلات در ازت مایع فریز و در دمای -۷۰ درجه سانتی گراد نگهداری شد.

هیستولوژی

۴۸ ساعت بعد از تزریق PMSG، تخدان‌ها خارج و با محلول بوئن برای مطالعات بافت‌شناسی ثبیت شد. پس از مراحل

بتاکتین در هسته موجب بیان ژن‌های هدف Wnt می‌شود. در غیاب لیگاند Wnt، بتاکتین فسفوریله شده و در اختیار کمپلکس تخریبی درون سلولی قرار می‌گیرد [۱].

اعضاءی این مسیر علاوه بر دخالت در تکوین بافت‌های جنینی، درهموستازی اکثر بافت‌های بالغ در پستانداران نیز دخالت دارند [۲ و ۳]. به طور مثال در سیستم تولید مثلی ماده، پروژسترون با کاهش GSK-3 β موجب فعال شدن مسیر سیگنال‌دهی Wnt شده و استروژن با انتقال بتاکتین به هسته و ایجاد کمپلکس با عوامل رونویسی موجب بیان ژن‌های هدف مربوط می‌شود. همان‌طور که می‌دانید استروژن‌ها در رشد و تکثیر سلول‌های فولیکولی و در نتیجه پیشبرد تکوین فولیکولی بسیار مؤثر هستند. این اطلاعات بیانگر اهمیت فعال‌سازی مسیر سیگنال‌دهی Wnt توسط عوامل اندوکرینی چون استروژن و پروژسترون در سیستم تولید مثلی ماده و تکوین فولیکول‌های تخدانی است [۴]. اعضای خانواده پروتئینی Wnt علاوه بر نقش‌های ضروری در ارگانوژن و تولید مثل درموش‌های ماده، برای تمایز و عملکرد سلول‌های تخدانی نیز ضروری است. در مراحل مختلف تکوین فولیکولی، تخمک گذاری و تشکیل جسم زرد الگوهای بیانی متفاوتی از ژن‌های کد کننده انواع Wnt در تخدان مشاهده می‌شود [۵]. بیان لیگاندها و رسپتورهای مختلف مسیر سیگنال‌دهی Wnt در مراحل مختلف تکوین فولیکولی در تخدان جوندگان ثابت شده است که نشانگر عملکردهای متعدد و مهم این مسیر سیگنال‌دهی در تخدان است [۶]. با توجه به شواهد موجود ذکر شده در بالا به نظر می‌رسد، مسیر Wnt و اعضای آن در تکوین و عملکرد سلول‌های تخدانی نقش‌های مهمی را ایفا می‌کند ولی هنوز اطلاعات کافی در این زمینه وجود ندارد.

اعضای خانواده Wnt در روندهای تکوینی متعدد از قبیل تنظیم مهاجرت سلولی، تکثیر/آپوپتوز سلولی، تمایز سلولی و

سانتی گراد قرار گرفت. برش‌ها سپس در محلول بلوك کننده (PBS) Phosphate Saline Baffer (BSA) Bovine serum Albumin ۳ درصد به مدت یک ساعت در دمای اتاق قرار گرفت. پس از شستشو با محلول PBS، برش‌ها با آنتی‌بادی اولیه GSK-3 β active β -catenin (Sigma) phosphor& total (Santa cruz) یک شب درجه درجه سانتی گراد قرار داده شد. پس از شستشو با محلول PBS، به منظور مهار فعالیت پراکسیدهای آندروژن، نمونه‌ها به مدت ۱۰ دقیقه در دمای معمولی اتاق با هیدروژن پراکسیداز ۳ درصد در متانول انکوبه شد. سپس برش‌ها با آنتی‌بادی ثانویه کیت LSAB (Dako) (labeled streptavidin biotin) به مدت یک ساعت در دمای اتاق انکوبه شد. پس از شستشو، آشکار سازی با استفاده از نشانگر دی آمینوبنزوئید (DAB)، به مدت ۶ دقیقه انجام گرفت. برای ایمنوفلورست از آنتی‌بادی ثانویه همزمان با FITC (Fluorescein Isothiocyanate) به جای کیت LSAB استفاده شد و رنگ آمیزی مضاعف با رنگ هوخت (Hoechst) ۰/۵ mg/ml (Calbiochem)

وسترن بلاط

برای تشخیص کمی پروتئین‌های GSK-3 β و بتاکتین، تخدمان‌های فریز شده را در بافر لیزکننده (Radio (RIPA) (Immunoprecipitation assay)، لیز کرده و بعد از سنجش غلاظت پروتئین به روش برادرفورد [۸]، میزان ۵۰ μ g از پروتئین‌های استخراج شده روی ژل آکریل امید ۱۰ درصد تفکیک و به غشای نیتروسلولز منتقل شد. به منظور حذف اتصال غیراختصاصی، غشا با محلول بلاکینگ (Sigma) BSA ۳ درصد انکوبه شد. انکوباسیون غشنا با آنتی‌بادی‌های اولیه و ثانویه طبق جدول ۱ صورت گرفت. آشکارسازی نهایی توسط کیت (Pierce) ECL(Enzymatic chemiluminescent)

آبگیری، شفاف‌سازی و پارافین گیری، بلوك‌های پارافینی تهیه و برش‌های ۷ میکرومتری با روش هماتوکسیلین – ائوزین (H&E) رنگ آمیزی شد. سپس فولیکول‌های آنترال با قطرهای (۶۰۰-۴۰۰ میکرومتر = آنترال کوچک و ۱۰۰۰-۶۰۰ میکرومتر = آنترال بزرگ) شمارش شد. در این بررسی فولیکول‌های حاوی هسته اووسیت از هر ۱۰ برش یکی شمارش شد تا بدین ترتیب از دو بار شمارش یک فولیکول آنترال بزرگ که تقریباً هسته‌ای به قطر ۷۰ میکرون دارد، جلوگیری شود[۷].

سنچش ۱۷۸- استرادیول در خون

به منظور اطمینان از موفقیت تزریق PMSG در پیشبرد القا و تکوین فولیکولی، سنجش سطح استرادیول از قلب حیوانات مورد آزمایش حدود ۱/۵ میلی لیتر خون، قبل از تزریق PMSG و ۲۸، ۴۰ و ۴۸ ساعت بعد از تزریق آن انجام گرفت. خون جمع‌آوری شده به مدت ۲ ساعت در یخچال نگهداری و سپس با دور ۳۰۰۰-۲۵۰۰ به مدت ۱۰ دقیقه در دمای ۴ درجه سانتی گراد سانتریفوژ شد و از سرم رویی برای سنچش ۱۷۸- استرادیول خون به روش CIA (Chemiluminescence immunoassay) استفاده شد.

ایمنو هیستوشیمی و ایمنوفلورست

تخدمان‌ها ۴۰ و ۴۸ ساعت پس از PMSG (فاز تکوین فولیکولی) خارج و با پارافرمالدهید ۴ درصد ثبیت شد (اتخاذ ساعت‌ها با توجه به افزایش استرادیول و آنالیزهای هیستوشیمی است که نشانگر فاز تکوین فولیکولی‌اند که مد نظر پژوهش حاضر است)، سپس از قالب‌های پارافینی تهیه شده، برش‌های ۷ میکرومتری تهیه و روی لام‌های پوشش یافته با ژلاتین چسبانده شد. بعد از مراحل آبگیری، شفاف‌سازی و پارافین زدایی، نمونه‌ها برای بازیابی آنتی‌ژنی به مدت ۲۰ دقیقه در بافر سیترات ۹۰ درجه

یافته‌ها

مقایسه وزن و اندازه تخدان‌ها

نتایج به دست آمده نشان داد که تزریق PMSG موجب افزایش وزن (دست نخورده: mg 0.83 ± 0.09) و تجربی: mg 2.33 ± 0.24) و اندازه (دست نخورده: $151.37 \mu\text{m} \pm 20.76$ و تجربی $310.28 \pm 74.75 \mu\text{m}$) تخدان‌ها شده است (شکل ۱، نمودار C, B).

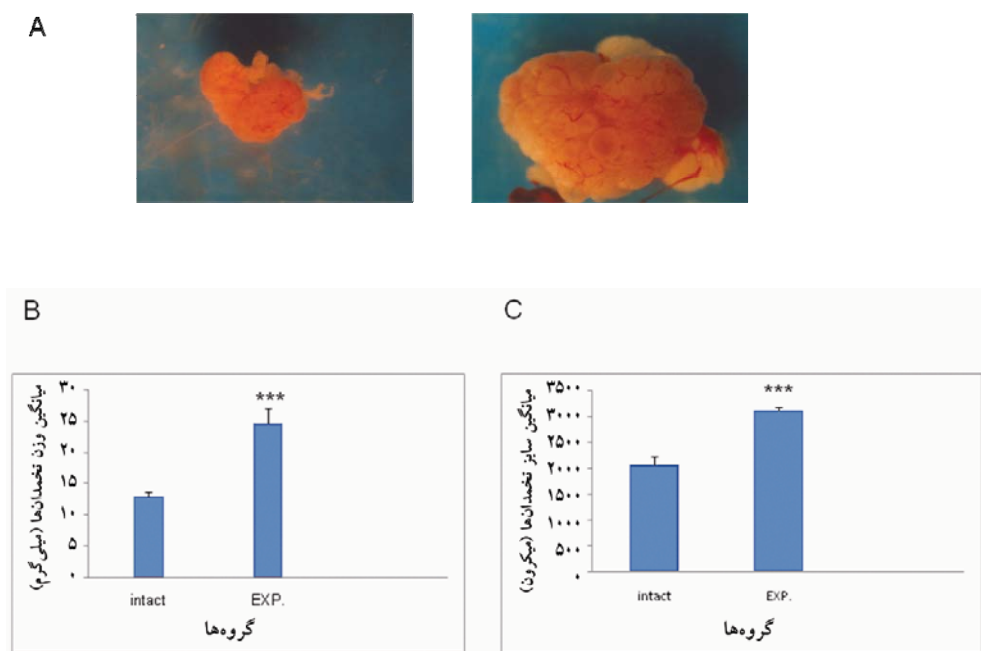
مقایسه بافت‌شناسی و شمارش فولیکولی و سنجش هورمونی

نتایج شمارش فولیکولی، افزایش بسیار معنی‌داری ($P < 0.005$) در تعداد فولیکول‌های آنترال گروه تجربی (۱۰.۸ \pm ۰.۵ per ovary) نسبت به گروه دست نخورده (۳/۵ \pm ۰.۴ per ovary) نشان می‌دهد (شکل های ۲ و ۳).

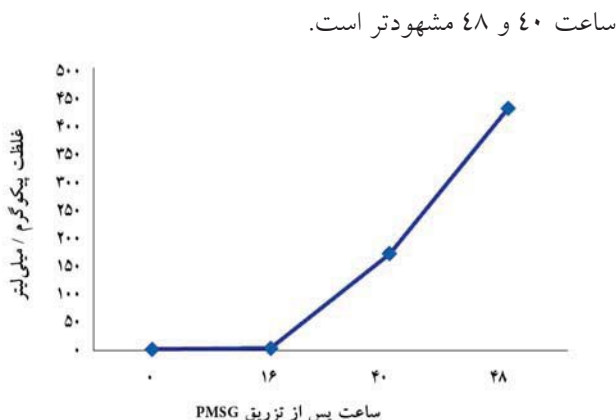
عکاسی ظاهر شد. برای اطمینان از میزان پرتوین انتقال داده شده روی ژل، غشا استریپ شد و با آنتی‌بادی‌های Pan Total انکوبه شد. بررسی دانسیمتری میانگین باندهای به دست آمده توسط برنامه Scion انجام شد.

آنالیز آماری

نتایج همه گروه‌های کنترل و تجربی با استفاده نرم‌افزار آماری SPSS تجزیه و تحلیل شد. برای مقایسه اختلاف بین گروه‌ها از آزمون Anova استفاده شد و سطح معنی‌داری کمتر از 0.05 در نظر گرفته شد. داده‌ها به صورت معنی‌داری کمتر از 0.05 در نظر گرفته شد. داده‌ها به صورت (Mean \pm SEM) هستند. برای آنالیز کمی نتایج ایمونو‌هیستوشیمی، تصاویر میکروسکوپی برای خانم دکتر کازمارک (Kaczmarek) [۹] ارسال و آنالیز کمی توسط ایشان صورت پذیرفت..



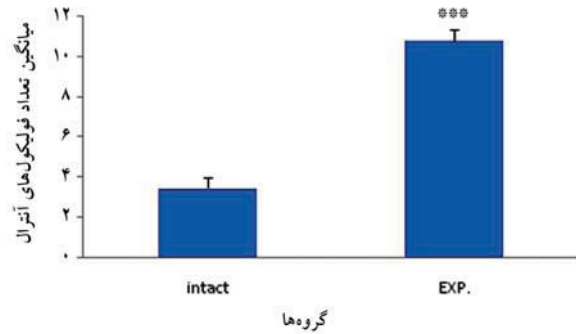
شکل ۱. مقایسه وزن و اندازه تخدان ۴۸ ساعت بعد از تزریق PMSG در گروه تجربی و گروه دست نخورده. (A) تخدان گروه دست نخورده (سمت چپ) و گروه تجربی (سمت راست). (B) وزن تخدان (C) اندازه تخدان. همان‌طور که مشاهده می‌شود وزن و اندازه تخدان در گروه تجربی به طور چشمگیری نسبت به گروه دست نخورده افزایش یافته است ($p < 0.005$: Exp. Vs. intact).



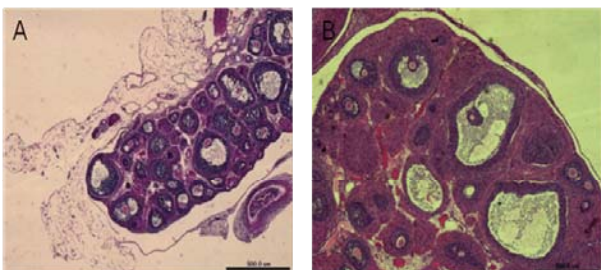
شکل ۴. غلظت هورمون ۱۷ بتا استراديول در گروه تجربی قبل از تزریق PMSG و ۴۰، ۱۶ و ۴۸ ساعت پس از تزریق PMSG. غلظت هورمون ۱۷ بتا استراديول با گذشت زمان به تدریج افزایش می‌یابد. داده‌ها به صورت (SEM \pm mean) (n=5) هستند (P<0.05, SEM \pm mean).

نتایج ایمونوہیستوشیمی و وسترن بلات

بررسی ایمونوہیستوشیمی در گروه تجربی و دست نخورده، نشان داد که GSK-3 β در سلول‌های تکا، گرانولوزا و استرومای فولیکول‌های آنترال دیده می‌شود. بیان pGSK-3 β (فرم فسفریله GSK-3 β) در تخدمان گروه دست نخورده به طور بسیار ضعیف مشاهده شد در حالی که در تخدمان گروه تجربی، شدت رنگ آمیزی بیشتر از گروه دست نخورده بود. همچنین در گروه تجربی در ۴ ساعت نسبت به ۴۸ ساعت پس از PMSG کاهش بیان pGSK-3 β مشاهده شد. بیان pGSK3 β به ویژه در فولیکول‌های آنترال شدیدتر از سایر انواع فولیکولی است. به علاوه الگوی بیان GSK-3 β و pGSK-3 β در تخدمان از نظر مکانی مشابه بوده ولی شدت رنگ آمیزی ایمونوہیستوشیمی pGSK3 β نسبت به pGSK-3 β ضعیفتر است (شکل ۵). بررسی‌های کمی ایمونوہیستوشیمی- pGSK-3 β ۳ β تو سطح روشن spatial visualization نیز نشان داد که در نمونه‌های تجربی ۴ ساعت پس از PMSG، بیان pGSK-3 β به طور معنی‌داری تجربی (۱۱۷۹/۴۳ \pm ۷۳/۰۲ IHC score) بیشتر از ساعت ۴۸ معنی‌داری (۳۶۴/۱۴ \pm ۴۷/۶۴ IHC score) و نیز گروه دست نخورده است (شکل ۶).

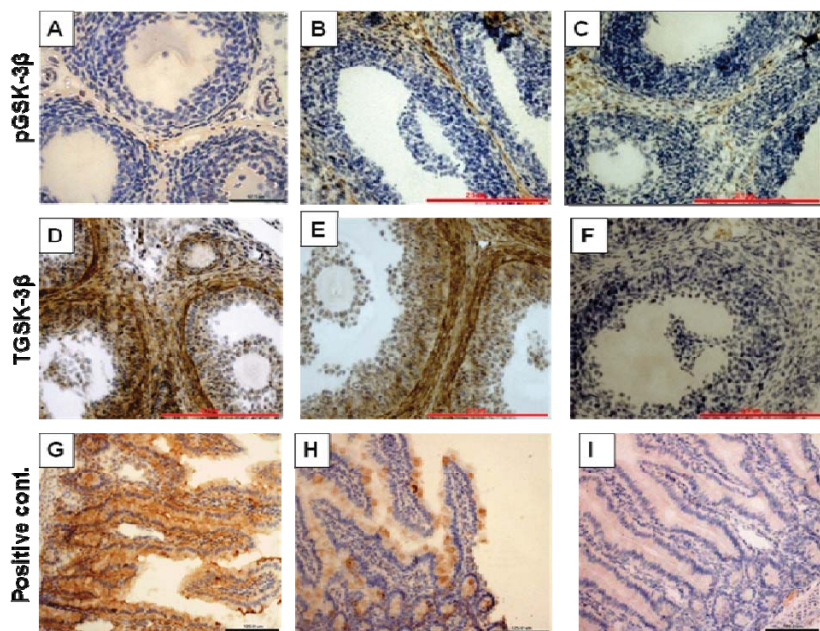


شکل ۲. تعداد فولیکول‌های آنترال در گروه تجربی و دست نخورده ساعت بعد از تزریق PMSG. تعداد فولیکول‌های در حال رشد افزایش معنی‌دار در تخدمان گروه تجربی نسبت به دست نخورده را نشان می‌دهد. (***) p<0.005: Exp. Vs. intact), (n=5)



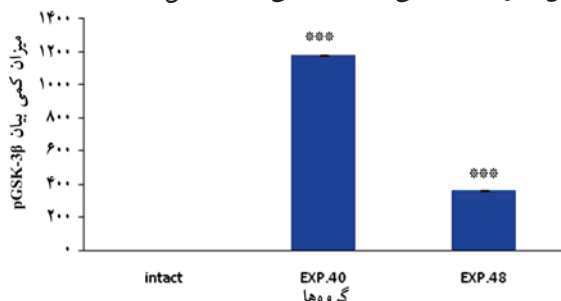
شکل ۳. فوتومیکروگراف از برش‌های تخدمانی رنگ آمیزی شده با روش H&E، ۴۸ ساعت بعد از تزریق PMSG در گروه تجربی و گروه دست نخورده. (A) تخدمان گروه دست نخورده، (B) تخدمان گروه تجربی (AF: فولیکول آنترال). اندازه فولیکول‌ها در گروه تجربی نسبت به دست نخورده افزایش یافته است، به طوری که در گروه دست نخورده فولیکول‌های بزرگ مشاهده نمی‌شوند (بار: ۵۰۰ میکرون).

(گرچه تعداد فولیکول‌های آغازین - اولیه و پری آنترال گروه دست نخورده نسبت به کنترل کاهش نشان می‌داد اما از نظر آماری معنی‌دار نبود، بنابراین داده‌ها نشده‌اند). همچنین، نتایج سنجش سطح استراديول خون قبل از تزریق آن (۰/۶۹ pg/ml \pm ۰/۷۸) و ۲۸، ۱۶، ۴۰ و ۴۸ ساعت بعد از تزریق آن به ترتیب از چپ به راست (۱۴/۷ \pm ۲/۷ pg/ml, ۱۴/۷ \pm ۴ pg/ml, ۱۹/۶ \pm ۴/۶ pg/ml, ۴۲/۷ pg/ml) نشان داد که با گذشت زمان از تزریق PMSG - پیشرفت تکوین فولیکولی - سطح استراديول خون نیز افزایش می‌یابد. همان‌طور که در (شکل ۴) مشاهده می‌شود این افزایش در دو



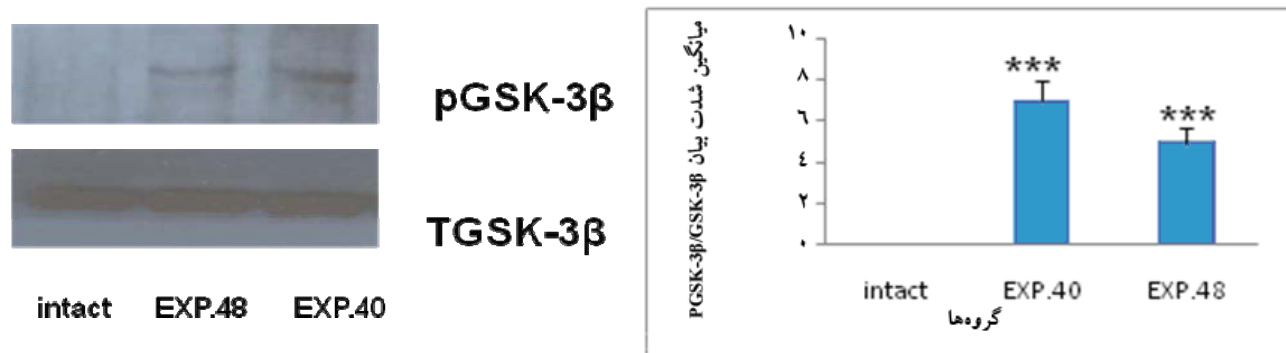
شکل ۵. فتومیکروگراف از تخدمان موش های گروه دست نخورده و تجربی رنگ آمیزی شده با استفاده از تکیک ایمونوہیستوشیمی جهت تشخیص پروتئین -GSK-3β و ۴۸ ساعت پس از تزریق PMSG. (A) بیان p GSK-3β تخدمان گروه دست نخورده، (B) بیان p GSK-3β تخدمان گروه تجربی ۰ ساعت پس از از تزریق (C) pGSK-3β تخدمان گروه تجربی ۸ ساعت پس از از تزریق (D,E) tGSK-3β PMSG (E) بیان tGSK-3β دست نخورده و تجربی (G)-لایه گرانولوزا و T-لایه تک، (F) کنترل منفی بافت تخدمان، (H) بیان tGSK-3β بافت روده بعنوان کنترل مثبت (I) کنترل منفی بافت روده. میزان بیان p GSK-3β در تخدمان موش های گروه تجربی ۴۰ ساعت پس از PMSG افزایش قابل توجهی نسبت به ۴۸ ساعت و گروه دست نخورده یافته است در حالی که بیان tGSK-3β بدون تغییر باقی مانده است (مقیاس : ۲۵۰ میکرون).

مشاهده نشد در حالی که در نمونه کنترل مثبت (لوله گوارش جنین موش ۱۳ روزه) بیان آن به طور قوی مشاهده شد (شکل ۹). نتایج وسترن بلاط نیز نشان داد که بیان بتاکتین فعال در تخدمان گروه تجربی قابل توجه بوده و در نمونه ۴۸ ساعته active/pan (۱۰+۱/۵ active/pan) بیشتر از ۴۰ ساعت بیان بتاکتین در ۷/۲۰/۸۸ است. همچنین، بیان میزان کل پروتئین بتاکتین در بین نمونه ها تفاوتی را نشان نمی دهد (شکل ۱۰).

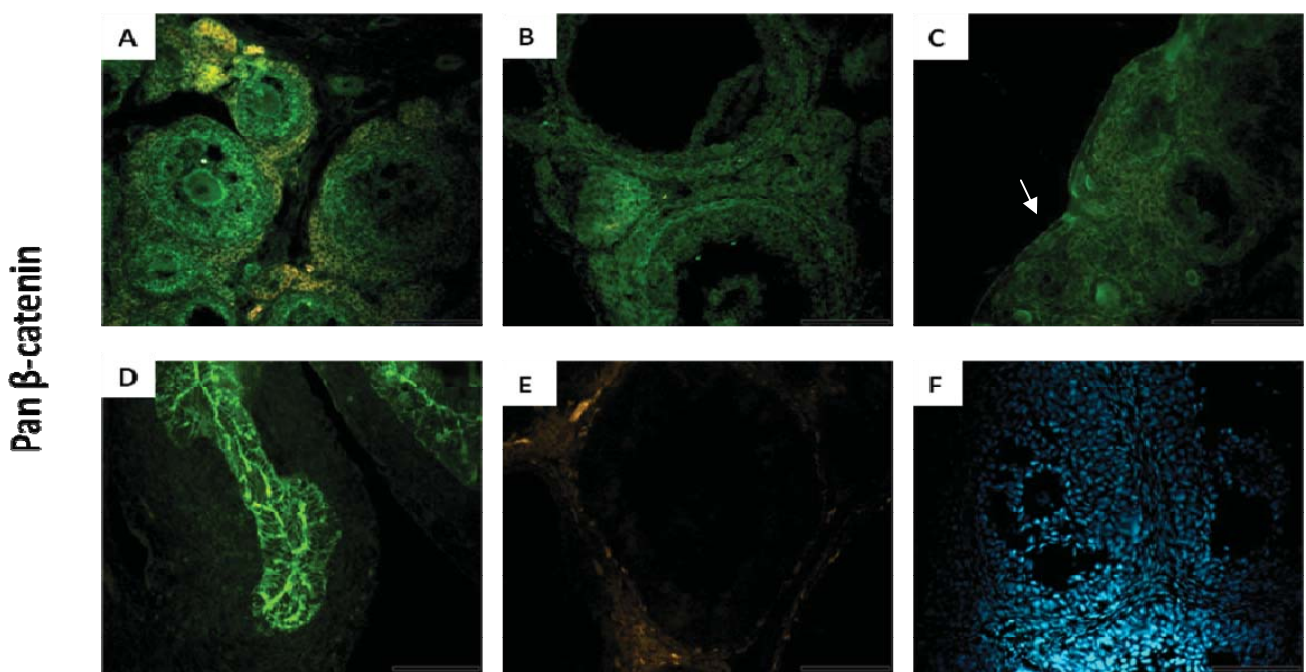


شکل ۶. آنالیز کمی ایمونوہیستوشیمی pGSK-3β در هر دو گروه تجربی ۴۰ و ۴۸ نسبت به دست نخورده افزایش معنی داری را نشان می دهد. همچنین در گروه تجربی ۴۰ نسبت به گروه تجربی ۴۸ افزایش موجود معنی داری است. داده ها به صورت (mean+SEM) هستند، n=5 (***, p<0.005 = Exp 40,48 vs. intact) .

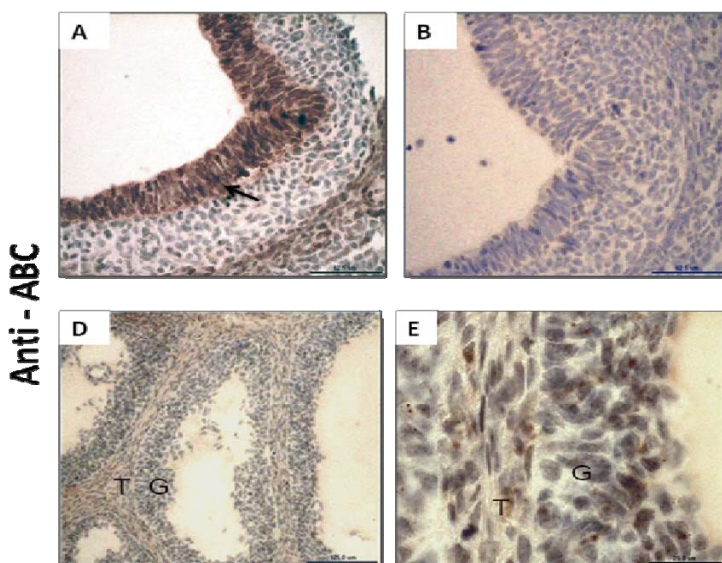
همچنین با استفاده از روش وسترن بلاط میزان کمی بیان این پروتئین ها بررسی شد. نتایج حاصله نشان داد که بیان pGSK-3β نسبت به بیان tGSK-3β در گروه دست نخورده صفر، در گروه تجربی ۰ ساعت 0.98 ± 0.07 و در گروه تجربی ۴۸ ساعت 5.0 ± 1.0 می باشد (شکل ۷). توسط ایمونوفلورسنس، بیان بتاکتین در تخدمان های گروه دست نخورده، تجربی ۴۰ و ۴۸ ساعت در بتاکتین به صورت غشایی و سیتوپلاسمی در سلول های گرانولوزا و لایه تک مشاهده شد. تفاوت الگوی قابل توجهی بین گروه تجربی ۴۰ و ۴۸ دست نخورده مشاهده نشد. به علاوه در هر دو گروه در فولیکول های آغازین، اولیه، پری آنترال و آنترال های کوچک بیان بتاکتین در هسته اوسویت نیز مشاهده شد (شکل ۸). بیان بتاکتین فعال، به صورت هسته ای و سیتوپلاسمی است، در تخدمان گروه تجربی بیان ضعیف آن بیشتر به صورت سیتوپلاسمی در سلول های گرانولوزا و بیشتر در لایه تک مشاهده شد و بیان هسته ای آن در محدودی از هسته های سلول های فولیکولی مشاهده شد. در تخدمان گروه دست نخورده بیان بتاکتین فعال



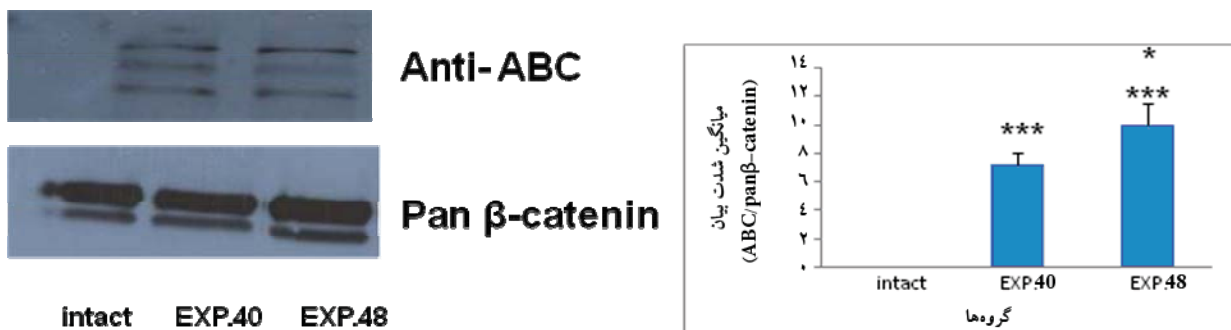
شکل ۷. وسترن بلاط پروتئین GSK-3 β . بافت تخدمان گروه تجربی ۴۰ و ۴۸ ساعت پس از تزریق PMSG. همان‌طور که در اینتو بلاط‌های سمت چپ مشاهده می‌کنید میزان بیان GSK-3 β در تخدمان موش‌های گروه تجربی ۴۰ ساعت پس از PMSG افزایش قابل توجهی نسبت به ۴۸ ساعت یافته است. در حالی که بیان TGSK-3 β بدون تغییر می‌ماند. نمودار سمت راست نتایج دانسیمتری شده باندها را به صورت عددی نشان می‌دهد. (***) $p<0.005$ (Exp.40,48 vs. intact and * $p<0.01$ = Exp.40 vs Exp.48)



شکل ۸ فتومیکروگراف از تخدمان موش‌های گروه دست نخورده و تجربی رنگ آمیزی شده با استفاده از روش ایمونوفلورسنت برای تشخیص پروتئین بتاکتینین ۴۰ و ۴۸ ساعت پس از تزریق PMSG. (A) تخدمان گروه دست نخورده، (B) تخدمان گروه تجربی ۴۰ ساعت پس از تزریق PMS (G-T)، (C) تخدمان گروه تجربی ۴۸ ساعت پس از تزریق PMSG (فلش - هسته اووسیت)، (D) بافت خارج تخدمان به عنوان کنترل مثبت، (E) کنترل منفی بافت تخدمان، (F) رنگ آمیزی مضاعف با هوختست. میزان بیان بتاکتینین در تخدمان موش‌های گروه تجربی و دست نخورده تقریباً یکسان است (مقیاس: ۲۵۰ میکرون).



شکل ۹. فتومیکروگراف از تخدمان موش‌های گروه دست نخورده و تجربی رنگ آمیزی شده با استفاده از روش ایمونوهیستوشیمی جهت تشخیص پروتئین بتاکتین فعال ۴۰ ساعت پس از تزریق PMSG . (A) مقطع بافتی از لوله گوارش چنین موش (فلش- سلول‌های اپیتلیال لوله گوارش) به عنوان کنترل مثبت (مقیاس ۶۲/۵ میکروم)، (B) تخدمان گروه دست نخورده (مقیاس ۲۵۰ میکروم)، (C) تخدمان گروه تجربی، ۴ ساعت پس از از تزریق PMSG-G-Lایه گرانولوزا و T- لایه تک (مقیاس ۱۲۵ میکروم)، (D) با مقیاس ۲۵ میکروم. میزان بیان بتاکتین فعال در تخدمان موش‌های گروه تجربی نسبت به دست نخورده افزایش یافته است. (E) با مقیاس ۲۵ میکروم.



شکل ۱۰. وسترن بلاط پروتئین بتاکتین، بافت تخدمان گروه تجربی ۴۰ و ۴۸ ساعت پس از تزریق PMSG . همان‌طور که از نتایج دانسیتمتری شده باندها در نمودار سمت چپ مشخص است، میزان بیان بتاکتین فعال (anti-ABC) در تخدمان موش‌های گروه تجربی ۴۸ ساعت پس از PMSG نسبت به ۴ ساعت افزایش یافته است در حالی که میزان کل پروتئین بتاکتین (pan β -catenin) بدون تغییر مانده است (**p<0.005 vs. intact and *p<0.01 vs Exp.48).

بهم

که با القای رشد فولیکولی توسط گنادوتروپین‌ها در تخدمان میزان فسفوریلاسیون GSK-3 β نسبت به گروه دست نخورده افزایش می‌یابد. همچنین بیان بتاکتین فعال شده در مدل تخدمان تحریک شده با PMSG به کار رفته در این بررسی نیز با گذشت زمان از تزریق PMSG متناسب با افزایش استرادیول، افزایش می‌یابد و این در حالی است که تخدمان‌های گروه دست نخورده

از آنجا که مولکول‌های Wnt و رسپتورهای آن در تخدمان بیان می‌شوند [۶] و اهمیت این مسیر در تکوین و عملکرد فولیکول‌های تخدمانی توسط محققین گزارش شده است [۱۰]، بنابراین در پژوهش حاضر بیان دو عضو مهم از این مسیر یعنی GSK-3 β و بتاکتین در تخدمان موش‌های صحرایی تحریک شده با گنادوتروپین PMSG بررسی شد. نتایج به دست آمده نشان داد

گنادوتروپین PMSG در فسفوریلاسیون GSK-3 β طی روند تکوین فولیکولی است. نتایج وسترن بلات در این تحقیق نشان داد که بیان بتاکتین با گذشت زمان تزریق و افزایش تکوین فولیکولی (در ۴۸ ساعته نسبت به ۴ ساعته) افزایش می‌یابد. در حالی که در نمونه تحریک نشده با گنادوتروپین (دست نخورده)، بیانی مشاهده نشد. این نتایج قابل مقایسه با گزارش‌هایی است که عملکرد استراديول را از طریق فعال‌سازی بتاکتین در سلول‌های نوروبلاستوما و نورون‌های قشری مغز معرفی کرده‌اند [۱۵]. همچنین گزارش شده است که در این سلول‌ها عملکرد استراديول وابسته به زمان و غلظت بوده و مشابه با تیمار Wnt-3a است و نیز تیمار سلول‌های مذکور با استراديول موجب افزایش تجمع بتاکتین می‌شود [۱۵]. نتایج بررسی حاضر نیز نشان داد که گرچه فسفوریلاسیون GSK-3 β در هر دو ساعت ۴۰ و ۴۸ پس از تزریق PMSG مشاهده می‌شود اما در ساعت ۴۸ که سطح استراديول خون بیشتر از ساعت ۴۰ است، بتاکتین فعال بیشتری بیان می‌شود. بنابراین می‌توان پیشنهاد کرد که بتاکتین مستقل از تغییرات GSK-3 β و از طریق افزایش استراديول فعال و پایدار شده و با ورود به هسته سلول‌های فولیکولی (Rider) موجب القای پیشبرد تکوین فولیکولی می‌شود.. ریدر (Rider) و همکارانش در سال ۲۰۰۶ نیز نشان دادند که در بافت رحم، پروژستررون موجب شروع مسیرسیگنال دهی Wnt از طریق مهار GSK-3 β شده ولی انتقال بتاکتین به هسته و پایداری آن نیازمند استراديول است [۴]. نتایج مطالعه حاضر نشان داد که گزارش‌های فوق در بافت تخدمان نیز قابل تعمیم است و می‌توان چنین پیشنهاد کرد که در این بافت نیز گنادوتروپین با مهار GSK-3 β شروع کننده مسیر Wnt بوده اما ادامه مسیر وابسته به میزان استراديول است. همچنین گزارش شده است که تحریک سلول‌های رحمی به تکثیر و تمایز توسط استراديول، موجب افزایش تجمع بتاکتین می‌شود [۴].

هیچ بیانی از این دو پروتئین را نشان نمی‌دهد. گنادوتروپین‌ها نقش اساسی در عملکرد و پاتولوژی تخدمان دارند. برای القا و تحریک تکوین فولیکولی موش‌های نبالغ معمولاً از PMSG که یک گنادوتروپین است، استفاده می‌شود. فعالیت PMSG وابسته به گونه بوده و قابل مقایسه با عملکرد گنادوتروپین‌ها (luteinizing hormone) LH (follicle stimulating hormone) FSH است. لذا PMSG می‌تواند به عنوان یک گنادوتروپین عامل مناسبی برای اتقاء مسیرهای تولید مثلی باشد [۱۱]. نتایج این بررسی نیز نشان داد که تزریق PMSG به موش‌های نبالغ، موجب افزایش وزن، اندازه و تعداد فولیکول‌های در حال رشد و در نتیجه تحریک تکوین فولیکولی می‌شود. نتایج سنجش هورمونی نیز نشان داد که به مرور و با گذشت زمان از تزریق PMSG، سطح استراديول خون نیز همراه با پیشرفت تکوین فولیکولی افزایش می‌یابد. در موش‌های صحرایی هیپوفیزکتونی تیمار شده با نوعی گنادوتروپین نیز سطح استراديول به تدریج از زمان تزریق تا دو روز بعد افزایش یافته و از آن پس تا روز چهارم به سطح اولیه باز می‌گردد [۱۲ و ۱۳]. بنابراین در این تحقیق بررسی‌های انجام شده در زمان قبل از تزریق و ۴۰ و ۴۸ ساعت پس از تزریق PMSG صورت گرفت یعنی در فاز رشد و تکثیر فولیکولی که برابر با زمان افزایش استراديول خون است.

گرچه کترول هورمونی رشد و تکوین فولیکولی، امری بدیهی و پذیرفته شده است اما در مورد مکانیسم مولکولی درگیر در آن اطلاعات بسیار اندکی وجود دارد. به تازگی گزارش شده است که استراديول از طریق مهار GSK-3 β و ایجاد کمپلکس با بتاکتین عمل کرده [۱۴] و موجب پایداری بتاکتین و انتقال آن به هسته می‌شود [۱۴ و ۱۵]. نتایج ایمنوهویستوشیمی و وسترن بلات β -GSK-3 β این تحقیق نیز، افزایش بیان را در نمونه‌های تحریک شده با گنادوتروپین نسبت به گروه دست نخورده نشان می‌دهد که مؤید اثر

فعال سازی بتاکتینین و پیشرفت تکوین فولیکولی می شود. همچنین با توجه به این یافته ها می توان پیشنهاد کرد که گرچه بیان pGSK-3 β در طول تکوین فولیکولی بواسطه گنادوتروپین ها دستخوش تغییر می شود اما فعال سازی بتاکتینین مستقل از این تغییرات و متناسب با افزایش استرادیول است. این یافته ها همچنین نقش احتمالی مسیر سیگنال دهی Wnt را در القای رشد و تکوین فولیکول های تخدانی توسط گنادوتروپین ها نشان می دهد.

تقدیر و تشکر

از کارشناس آزمایشگاه سلولی - تکوینی سرکار خانم شیخ پور، آقای دکتر شاهرخ صفریان بابت راهنمایی هایشان و از خانم دکتر الریبتا کازمارک برای آنالیز ایمونوهیستوشیمی نهایت تشکر را داریم. این طرح با کمک و هزینه مالی پردازیس علوم دانشگاه تهران انجام یافته است.

بررسی های انجام شده در این تحقیق نیز نشان داد که با افزایش سطح استرادیول خون میزان بیان بتاکتینین فعال افزایش می یابد. در تأیید نتایج بررسی حاضر، پن و وونگ (Wong & Pon) در سال ۲۰۰۶ نشان دادند که گنادوتروپین ها موجب فعال سازی بتاکتینین در سلول های اپیتلیوم سطحی تخمدان (Ovarian serfice epithelium-OSE) می شوند [۱۶]. مقایسه این نتایج با یافته های حاضر نشان دهنده اهمیت میان کنش استرادیول با بتاکتینین در پیشبرد تکوین فولیکول های تخدانی است اما پیدا کردن مسیر عملکردی دقیق در گیر در آن با توجه به پیچیدگی ها و تداخلات متعدد مسیر های سیگنال دهی به ویژه در سیستم *in vivo* بسیار سخت و نیازمند تحقیقات بیشتر است.

در مجموع یافته های حاضر نشان دهنده این مطلب است که گنادوتروپین ها از طریق افزایش استرادیول موجب پایداری و

References

1. Arias AM, Brown AM, Brennan K. Wnt signalling: pathway or network? *Curr Opin Genet Dev* 1999; 9: 447-54.
2. Brennan KR, Brown AMC. Wnt Proteins in mammary development and cancer. *J Mammary Gland Biol Neoplasia* 2004; 9: 119-31.
3. Hsieh M, Johnson A, Greenberge M, Richards S. Regulated expression of Wnts and Frizzleds at specific stage of follicular development in the rodent ovary. *Endocrinology* 2002; 143(3):898-908.
4. Rider V, Isuzugawa1 K, Twarog M, Jones S, Cameron B, Imakawa1 K, Fang J. Progesterone initiates Wnt-b-catenin signaling but estradiol is required for nuclear activation and synchronous proliferation of rat uterine stromal cells, *J Endocrinol* 2006; 191: 537-48
5. Poutanen, Toward Understanding the Endocrine Regulation of Gonadal Somatic Cells, *News & Views. Endocrinology* 2000; 147 (8): 3662-5.
6. Richen A, Lochhead P, Kontogianne M, Farookhi R. Wnt Signaling in the Ovary: Identification and Compartmentalized Expression of wnt-2, wnt-2b, and Frizzled-4 mRNAs. *Endocrinology* 2002; 143(7): 2741-9.
7. Muskhelishvili L, Wingard SK, Latendresse JR. Proliferating Cell Nuclear Antigen- A marker for Ovarian Follicle Counts. *Toxicol Pathol* 2005; 33: 365-8.
8. Bradford JM, Piest RF, Spomer RG. Failure Sequence of Gully Headwalls in Western Iowa. *Soil Sci Soc Am J* 1978; 42: 323-28.
9. Nieruchalska E, Strzelczyk R, Wołniak A, urawski J, Kaczmarek E, Salwa-urawska W. A quantitative analysis of the expression of a-smooth muscle action in mesangioproliferative (GnMes) glomerulonephritis. *Folia Morph* 2003; 62: 451-3.

10. Richards JS, Ochsner S, Russel DL, Falender AE, Hsieh MN, Doyle KH, Sharma Sc. Novel signaling pathways that control follicular growth and ovulation. *Recent Prog Horm Res* 2002; 57: 195-220.
11. Engelbreget MJT, Weissenbruch MMV, Snijders, Delemarre-van Waal HA. Delayed first cycle in intrauterine growth-retarded and postnatally undernourished female rats; follicular growth and ovulation after stimulation with pregnant mare serum gonadotropin at first cycle. *J Endocrinol* 2002; 173: 297-304.
12. Mcgee EA, Hsueh AJW. Initial and cyclic recruitment of ovarian follicles. *Endocrine Rev* 2000; 21(2): 200-14.
13. Kim H, Yamanouchi K, Nishihara M. Expression of ski in the granulose cells of atretic follicles in the rat ovary. *Reprod Dev* 2006; 6; 715-21.
14. Varea O, Garrido J, Dopazo A, Mendez P, Segura L, Wandosell F. Estradiol activates β -catenin dependent transcription in neurons, *Plos one*. 2009, 4, e5153.
15. Gomez C, Perez M, avila J, Garcia-Segura LM, Wandosell F. Estradiol inhibits GSK3 and regulates interaction of estrogen receptors, GSK3 and beta-catenin in the hippocampus. *Mol Cell Neurosci* 2004; 25: 363-73.
16. Pon YL, Wong AST. Gonadotropin-induce apoptosis in Human Ovarian Surface Epithelial cells is associated with cyclooxygenase-2 up-regulation via the β -catenin/T-cell factor signaling pathway. *Mol Endocrinol* 2006; 20(12): 3336-50.